

FIG. 1
PRIOR ART

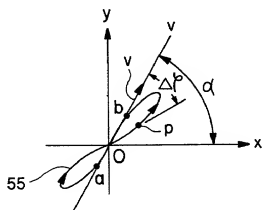


FIG. 2

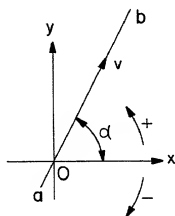


FIG. 3

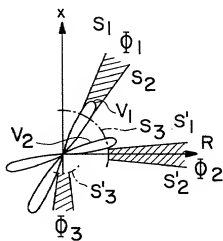
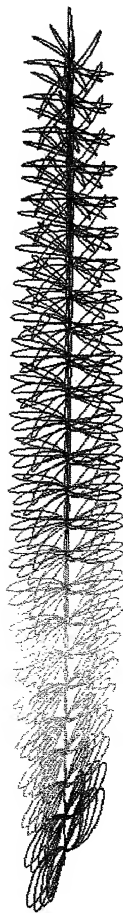


FIG. 4

T05020"2h00h460



kHz	11	12	13	14	16	17	19	20	22	24	26	29	31	34	37	40	44	48	52	57	62	68	74	81	88
	a	b	c	d	e	f	g	h	i	j	k	l	m	n	o	p	q	r	s	t	u	v	w	x	y

FIG. 5

105020°2400h/260

kHz 11 12 13 14 16 17 19 20 22 24 26 29 31 34 37 40 44 48 52 57 62 68 74 81 88



a b c d e f g h i j k l m n o p q r s t u v w x y

FIG. 6

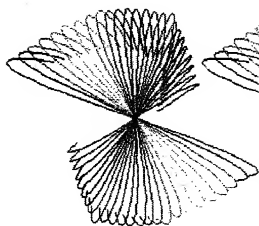


FIG. 7a

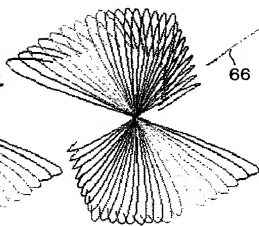


FIG. 7b

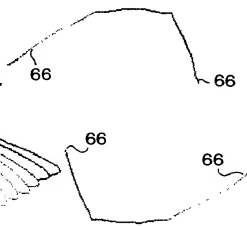


FIG. 7c

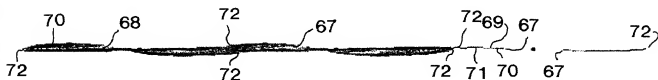


FIG. 8a

FIG. 8b

FIG. 8c

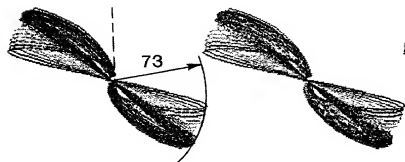


FIG. 9a

FIG. 9b

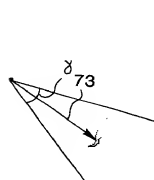


FIG. 9c



FIG. 10a



FIG. 10b



FIG. 10c



FIG. 11a



FIG. 11b



FIG. 11c



FIG. 12a



FIG. 12b



FIG. 12c

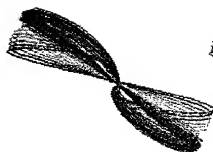


FIG. 13a

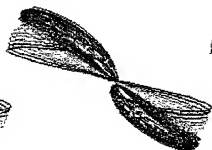


FIG. 13b

FIG. 13c



FIG. 14a

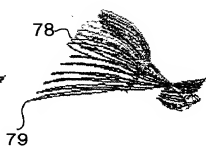


FIG. 14b

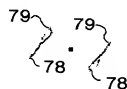


FIG. 14c

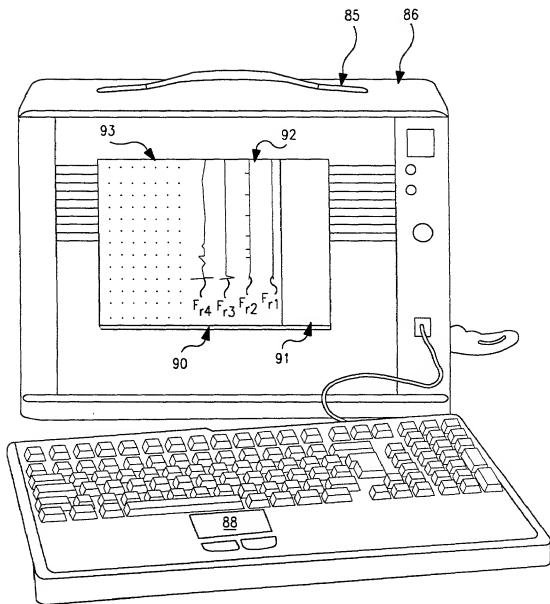
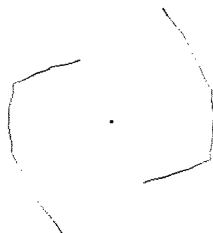
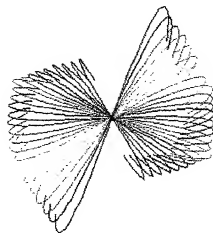
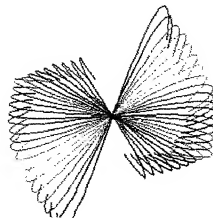
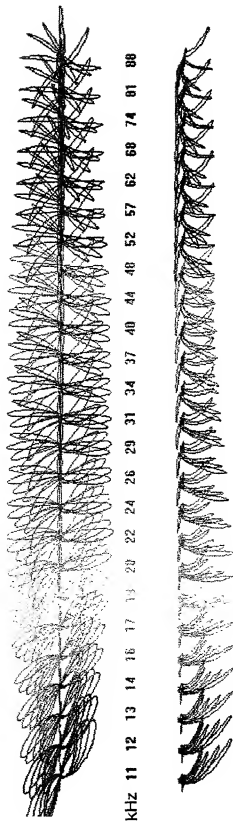


FIG. 15a

105040' 24004760



93

Mag Angle
447 111
-235 130
-53 117

44 kHz
Range
Range%
Slope

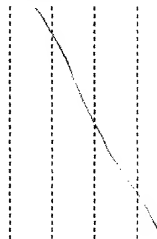


FIG. 15b

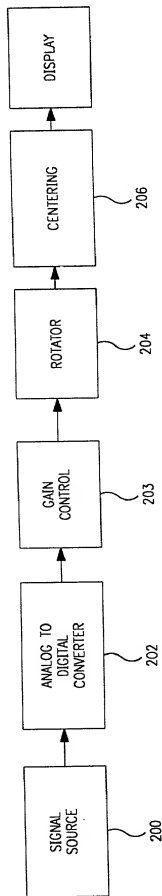


FIG. 16

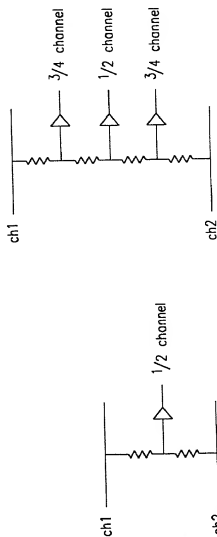


FIG. 17a

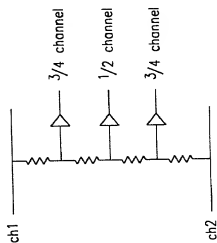


FIG. 17b

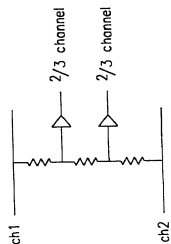


FIG. 17c

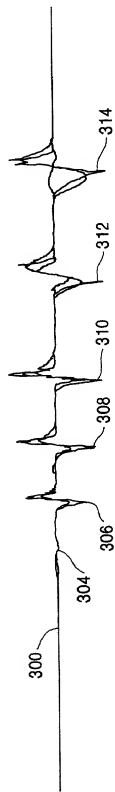


FIG. 18a

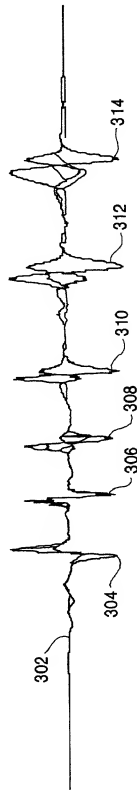


FIG. 18b